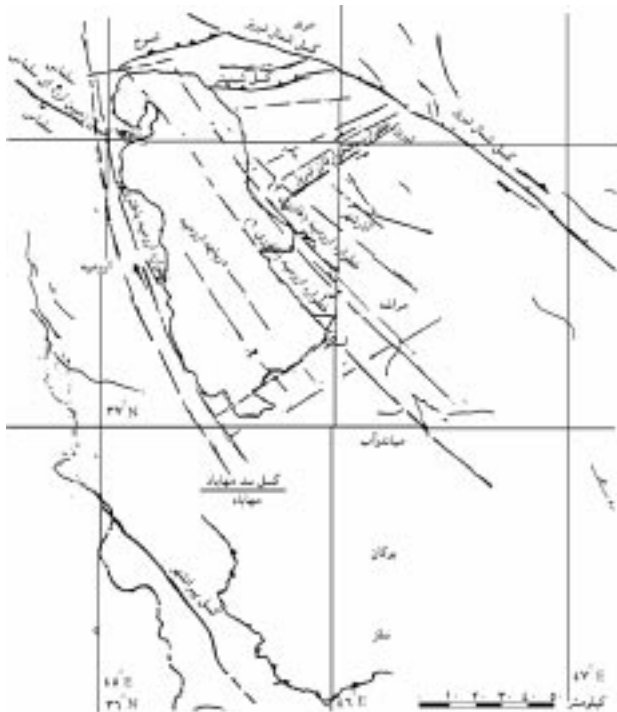


بررسی لرزه زمین ساختی و تحلیل راستای بردار لغزش در ناحیه دریاچه ارومیه

* مهدی زارع، استادیار پژوهشکده زلزله شناسی پژوهشگاه

۳- لرزه زمین ساخت

منطقه مورد مطالعه در مجاورت فروافتادگی دریاچه ارومیه و در جنوب-جنوب باختر سیستم گسله شمال تبریز در ناحیه ای با لرزه خیزی متوسط در مقایسه با پهنه گسله شمال تبریز [۱] قرار گرفته است (شکل ۱).



شکل (۱): ساختارهای اصلی در ناحیه پیرامون دریاچه ارومیه

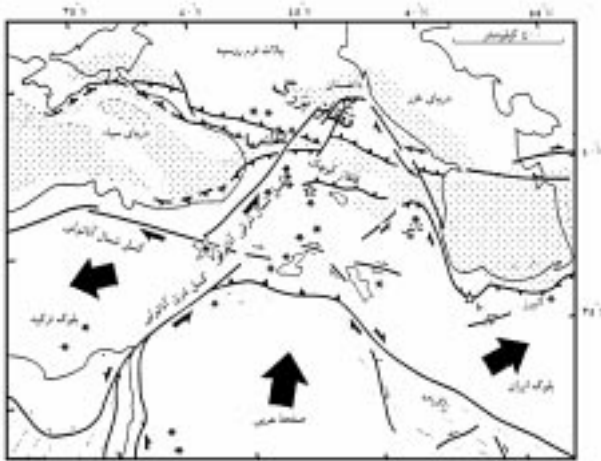
با توجه به نقشه گسلهای بنیادی منطقه شمال باختری ایران، خاور ترکیه و قفقاز در شکل (۲)، می‌توان روندهای بنیادی این منطقه را به صورت روند شمال باختری-جنوب خاوری (گسل شمال تبریز، گسل آناتولی شمالی و گسل زاگرس) با سازوکار راستالغز راستگرد، روند شمال خاوری-جنوب باختری (گسل خاوری آناتولی، شمال خاوری آناتولی و خطواره دهخوارقان تبریز در شکلهای ۲ و ۳) با سازوکار

در این مقاله وضعیت لرزه زمین ساخت در شمال باختری ایران، مطالعه لرزه خیزی و تغییر روندهای ساختاری در پهنه دریاچه ارومیه و رابطه آن با لرزه خیزی و خطر زمین لرزه بررسی می‌شود. سازوکارهای ژرفی و راستای قرارگیری روندهای گسله بنیادی در شمال و خاور آتشفسان سهند تا باختر دریاچه ارومیه نیز مورد توجه قرار می‌گیرد. این مطالعات نشان می‌دهد که پهنه ای با لرزه خیزی متوسط در ناحیه تغییر راستای بردار لغزش و فشارش بنیادی در پیرامون دریاچه ارومیه شکل گرفته است. این پهنه با رسیدن به مرزهای این ناحیه و با گسلهای بنیادی پرتکاپو به پایان می‌رسد. همچنین در این مقاله سازوکار راستالغز چپگرد برای سیستم خطواره های دهخوارقان- تبریز پیشنهاد می‌شود.

۴- مقدمه

با توجه به زلزله های تاریخی و مخرب در شهر تبریز (حداقل ۱۲ بار تخریب کامل شهر تبریز در طول تاریخ) و پیرامون آن وجود یک مرز ساختاری بنیادی در این ناحیه، پهنه گسل شمال تبریز به عنوان پهنه ای ویژه از پهنه های پیرامون آن مجزا شده است. بررسی در این مورد مستلزم توجه به روندهای بنیادی در ناحیه و روند بردارهای لغزش است؛ زیرا، پهنه گسله شمال تبریز در ناحیه ای قرار دارد که وقتی به سمت باختر و جنوب باختر پیش می رویم به پهنه ای با لرزه خیزی متوسط می‌رسیم.

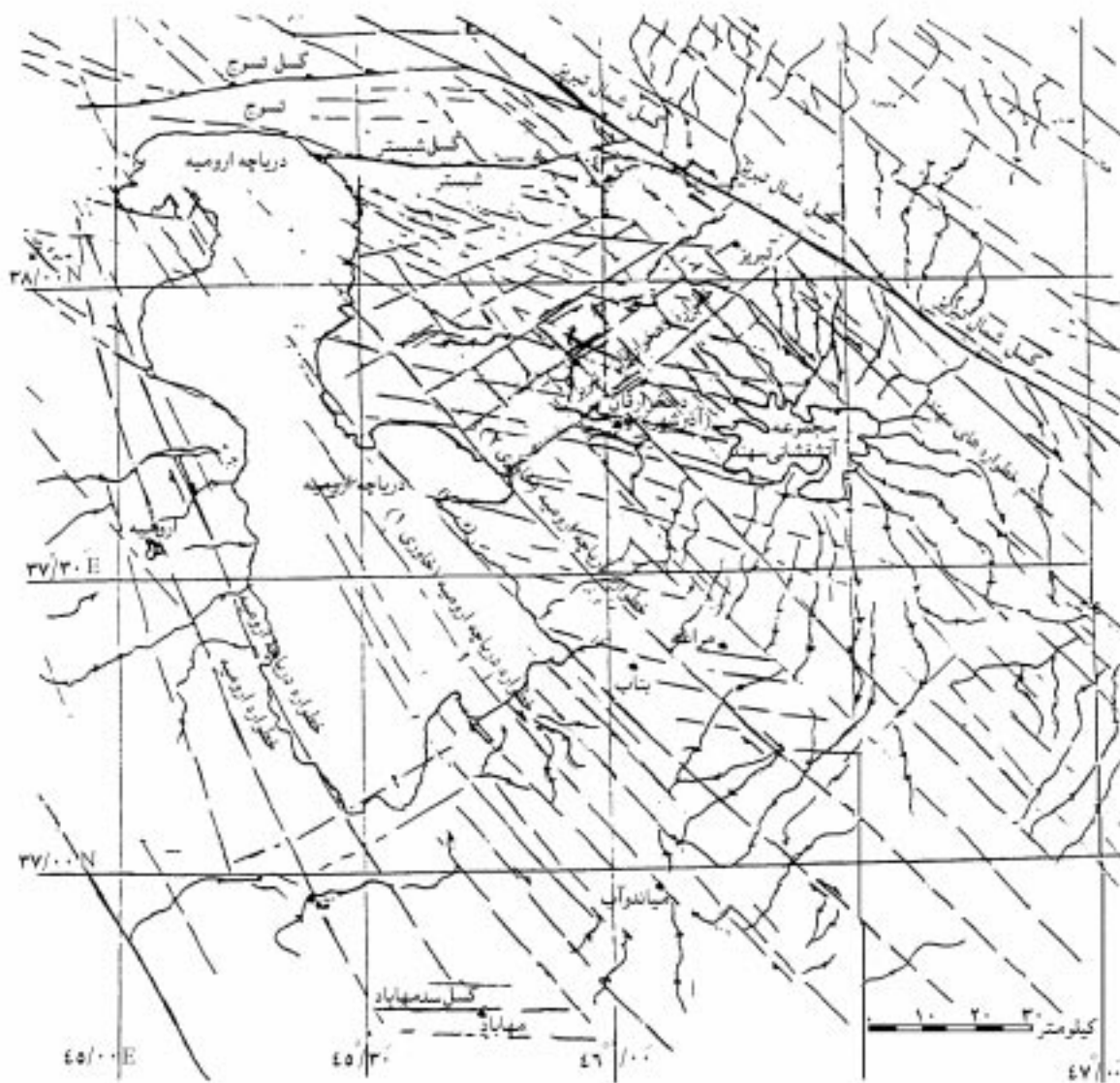
در مقاله حاضر با دقت در روندهای رده دوم نسبت به سیستم گسل شمال تبریز، یک پهنه برخورد در پیرامون شهر تبریز معرفی می‌شود؛ لذا، علاوه بر انجام بررسیهای آماری لرزه خیزی، از تصویرهای ماهواره ای رقومی شده نیز برای یافتن سیستم خطواره های بنیادی و سازوکار آنها استفاده شده است.



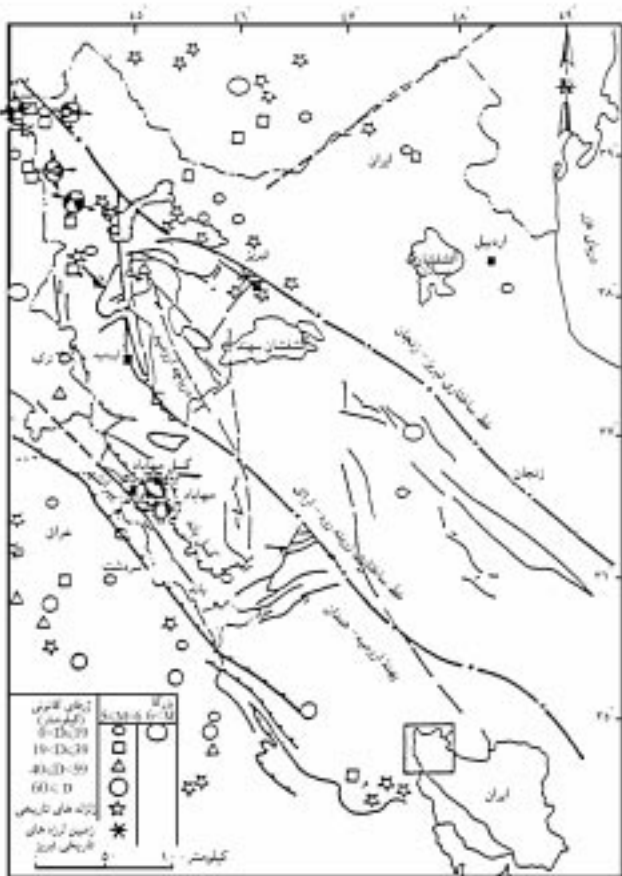
شکل (۲): نقشه زمین ساختی منطقه شمال باختری ایران، خاور ترکیه و قفقاز [۲]

راستالغز چپگرد و کسلهای با روند خاوری- باختنی (گسل قفقاز کوچک، قفقاز بزرگ، تسوج و شبستر در شکلهای ۲ و ۳) با سازوکار فشاری معکوس تا راندگی دسته بندی نمود. مهمترین روند لرزه زا در این منطقه گسل شمال تبریز است که با ۱۲ زمین لرزه مخرب در طول تاریخ آخرين زلزله در سال ۱۷۸۰ رخ داده) یکی از جنباترین روندهای کواترنر در ایران شناخته شده است.

روند خطواره دهخوارقان - تبریز در سال ۱۶۴۱ احتمالاً با زمین لرزه ای با بزرگای ۶/۸ جا به جا شده است [۳]. از گسیختگی سطحی بر اثر این زلزله هیچ گزارشی در دست نیست؛ ولی، از ایجاد شکاف در سطح زمین و قوعه زمین لغزش باد شده است. از طرفی، با توجه به پنهانه رومرگزی این



شکل (۳): روندهای خطواره‌ها و گسلهای اصلی در ناحیه سهند- دریاچه ارومیه (بر اساس برد اشتہای صحرایی و نقشه رقمی شده از تصاویر ماهواره‌ای به مقیاس ۱:۵۰،۰۰۰)



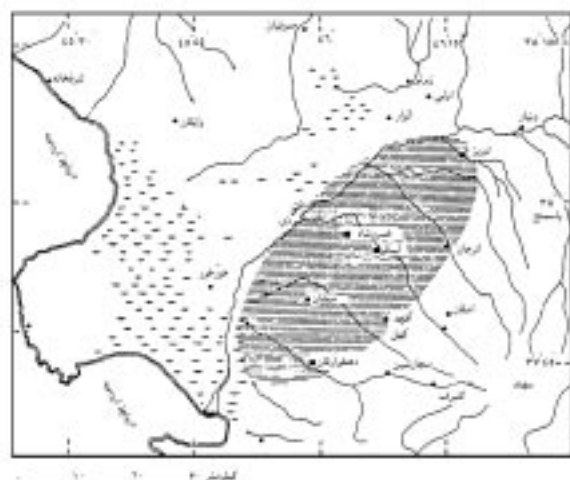
شکل (۵): نقشه لرزه زمین ساختی منطقه آذربایجان [۶]

بر اساس مطالعه زارع [۵] در ایران و ناتالی [۶] برای بزرگای کمتر از $m_b = 6$ و بیش از $M_s = 6$ به عنوان معادل M_W استفاده گردید. لرزه خیزی منطقه مورد مطالعه در دو بخش با ویژگیهای خاص مورد بررسی قرار می‌گیرد:

بخش اول: این بخش شامل ناحیه پیرامون سیستم گسل شمال تبریز است (شکل ۵) که با موقعیت زمین لرزه‌های با بزرگای بیش از ۷ در جدول (۱) مشاهده می‌شوند. این زلزله‌ها بیشتر بسیار روی سیستم گسل شمالي تبریز متتمرکز شده اند و موقعیت آنها با کسیختگی سطحی زمین لرزه (وقوع آخرین زلزله در سال ۱۷۸۰) همراه بوده است.

بخش دوم: این بخش در پیرامون دریاچه ارومیه است (شکل ۴) که مهمترین زلزله در این پهنه زلزله سال ۱۶۴۱ دهخوارقان- تبریز با بزرگای $M_s = 6.8$ می‌باشد. غیر از زلزله باد شده در این پهنه، بقیه زلزله‌ها در جدول (۲) با بزرگای حداقل ۵/۵ مشاهده می‌شوند. این جدول بیانگر زلزله‌های پهنه لرزه زمین ساختی مراغه در جنوب دریاچه ارومیه است. با توجه به لرزه خیزی ناحیه لرزه زمین ساختی دریاچه ارومیه مشخص می‌گردد که این ناحیه دارای زمین لرزه‌هایی با بزرگای

زلزله در شکل (۴) کشیدگی مشخصی در راستای خطواره دهخوارقان- تبریز مشاهده می‌شود. به احتمال زیاد این مطلب بیانگر این مسئله است که روندهای رده دوم (نسبت به راستای گسل شمال تبریز و روند خطواره‌های خاوری و باختری دریاچه ارومیه) نیز در این ناحیه فعالیت لرزه‌ای نشان داده‌اند. بررسی تغییر روند آبراهه‌ها در راستا و در حین عبور از خطواره‌های یاد شده نشانگر سازوکار آنها می‌باشد؛ بنابراین، در این منطقه روند سیستم خطواره‌های سهند (راستای شمال باختری- جنوب خاوری) با سازوکار راستالغز راستگرد (مشابه گسل شمال تبریز و با زاویه نسبت به آن)، روند سیستم خطواره‌های شمال خاوری- جنوب باختری در خاور و شمال خاور آناتولی) و روندهای خاوری و باختری دریاچه ارومیه با سازوکار راستالغز راستگرد (راستای شمال، شمال باختر- جنوب، جنوب خاور) مشخص شده‌اند. این سازوکارها عموماً در نقشه زمین ساخت ناحیه‌ای منطقه نیز مورد تأیید می‌باشند (شکل ۲). از سوی دیگر، با توجه به سازوکارهای ژرفی ارائه شده در نقشه لرزه زمین ساخت منطقه (شکل ۵) که از نواحی شمال و شمال باختری دریاچه ارومیه به دست آمده است (در ادامه روندهای شمال تبریز و باختر دریاچه ارومیه) چنین سازوکارهای راستالغزی را تأیید می‌نماید.



شکل (۴): پهنه رومکتر مهدلزه‌ای زلزله سال ۱۶۴۱ دهخوارقان- تبریز [۳]

۴- لرزه خیزی

در بررسیهای لرزه خیزی بزرگای M_W به عنوان مبنای انتخاب گردید. به این منظور در هر مورد که بزرگای M_W از سوی مراکز لرزه نگاری گزارش شده است، همین مقدار استفاده گردید. در غیر این صورت

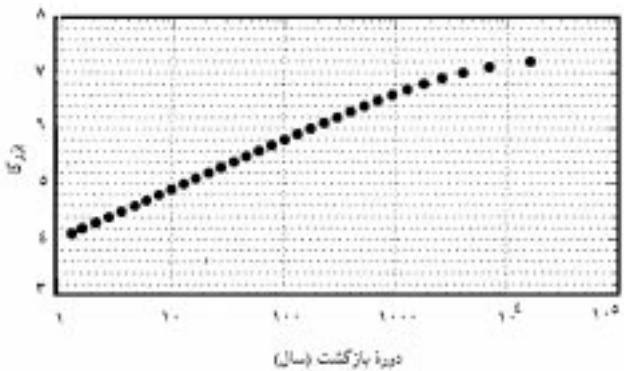
جدول (۱): فهرست زلزله های رخ داده با بزرگای بیش از ۵ در پهنه تبریز - دریاچه ارومیه

تاریخ	زمان وقوع	مختصات رومرکز	بزرگای کانونی (کیلومتر)	گسل زمین لرزه ای	مرجع	پهنه رومرکزی
۸۵۸	۳۸/۱۰۰N	۴۶/۳۰۰E	۷/۰	Amb	تبریز	
۱۰۴۲/۱۱/۰۴	۳۸/۱۰۰N	۴۶/۳۰۰E	۷/۶	Amb	تبریز	
۱۱۳۵/۰۷/۲۵	۳۶/۱۰۰N	۴۵/۹۰۰E	۶/۱	Amb	کردستان	
۱۱۳۵/۰۸/۱۳	۳۶/۱۰۰N	۴۵/۹۰۰E	۶/۴	Amb	کردستان	
۱۳۰۴/۱۱/۰۷	۳۸/۵۰۰N	۴۵/۵۰۰E	۶/۷	Amb	تبریز	
۱۵۹۳	۳۷/۸۰۰N	۴۷/۵۰۰E	۶/۱	Amb	سراب	
۱۶۴۱/۰۲/۰۵	۳۷/۹۰۰N	۴۶/۱۰۰E	۶/۸	Amb	دهخوارقان	
۱۷۱۷/۰۳/۱۲	۳۸/۱۰۰N	۴۶/۳۰۰E	۵/۹	Amb	تبریز	
۱۷۲۱/۰۴/۲۶	۳۷/۹۰۰N	۴۶/۷۰۰E	*۷/۷	Amb	تبریز	
۱۷۸۰/۰۱/۰۸	۳۸/۲۰۰N	۴۶/۰۰۰E	*۷/۷	Amb	تبریز	
۱۷۸۶/۰۱/۰۷	۳۸/۳۰۰N	۴۵/۶۰۰E	۶/۳	Amb	مرند	
۱۸۴۳/۰۴/۱۸	۳۸/۷۰۰N	۴۴/۹۰۰E	۵/۹	Amb	خوی	
۱۸۸۰/۰۷/۰۴	۳۶/۵۰۰N	۴۷/۵۰۰E	۵/۶	Amb	گروس	
۱۸۸۳/۰۵/۰۳	۳۷/۹۰۰N	۴۷/۲۰۰E	۶/۲	Amb		
۱۹۰۰/۰۲/۲۴	۳۸/۴۵۰N	۴۴/۸۷۰E	۵/۴	Amb	خوی	
۱۹۰۵/۰۱/۰۹	۳۸/۱۰۰N	۴۶/۰۰۰E	۶/۲	Amb		
۱۹۳۰/۰۵/۰۶	۳۸/۱۵۰N	۴۴/۷۵۰E	۵/۵	BER	سلماس (بیش لرزه)	
۱۹۳۰/۰۵/۰۶	۳۷/۰۰۰N	۴۴/۷۸۰E	*۷/۲	Amb	سلماس	
۱۹۳۴/۰۲/۲۲	۳۸/۷۶۰N	۴۵/۹۴۰E	۶/۱	Amb		
۱۹۵۸/۰۵/۰۵	۳۶/۵۰۰N	۴۵/۵۰۰E	۵/۵	MOS		
۱۹۶۵/۰۲/۰۱	۳۷/۶۶۰N	۴۷/۰۹۰E	۵/۰	ISC	علیخان	
۱۹۷۰/۰۳/۱۴	۳۸/۵۹۷N	۴۴/۷۷۷E	۵/۳	NEIC	بدلان	
۱۹۷۰/۰۱/۲۵	۳۶/۷۶۹N	۴۵/۱۲۹E	۵/۰	NEIC	پسونه	
۱۹۸۰/۰۱/۱۸	۳۶/۰۰۹N	۴۴/۶۷۰E	۵/۸	NEIC		

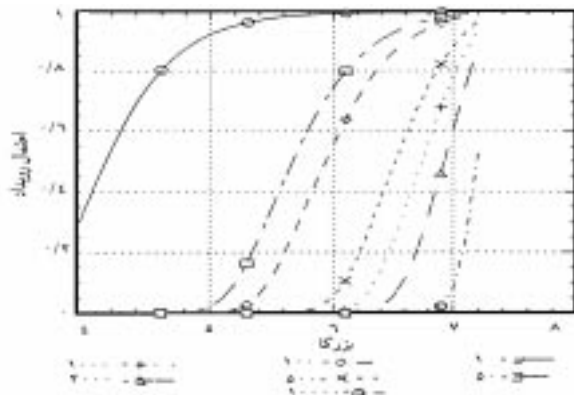
جدول (۲): فهرست زلزله های رخ داده در پهنه لرزه زمین ساختی مراغه

تاریخ	زمان وقوع	مختصات رومرکز	بزرگای کانونی (کیلومتر)	گسل زمین لرزه ای	مرجع	پهنه رومرکزی
۱۶۴۱/۰۲/۰۵	۳۷/۹۰۰N	۴۶/۱۰۰E	۶/۸	Amb	دهخوارقان	
۱۹۵۸/۰۵/۰۵	۳۶/۵۰۰N	۴۵/۵۰۰E	۵/۵	MOS		
۱۹۶۹/۱۱/۲۸	۳۷/۷۲۰N	۴۵/۱۷۵E	۴/۷	NEIC		
۱۹۷۰/۱۰/۲۵	۳۷/۷۶۹N	۴۵/۱۲۹E	۵/۵	NEIC	پسونه	
۱۹۸۱/۰۷/۲۳	۳۷/۳۱۴N	۴۵/۲۵۷E	۴/۶	NEIC		
۱۹۸۱/۰۹/۱۴	۳۷/۰۶۷N	۴۵/۲۷۶E	۴/۵	NEIC		
۱۹۸۱/۱۰/۰۹	۳۷/۱۹۵N	۴۵/۳۸۵E	۴/۷	NEIC		
۱۹۸۲/۰۶/۰۱	۳۷/۰۴N	۴۵/۱۰۹E	۴/۶	NEIC		
۱۹۸۴/۰۱/۲۸	۳۷/۰۱۷N	۴۵/۲۹۷E	۴/۶	NEIC		
۱۹۸۶/۰۵/۱۱	۳۷/۰۳۸N	۴۵/۲۸۳E	۴/۶	NEIC		
۱۹۸۸/۰۶/۰۴	۳۷/۹۵۴N	۴۵/۲۹۴E	۴/۸	NEIC		
۱۹۹۱/۰۷/۰۵	۳۷/۷۲۷N	۴۵/۲۱۹E	۴/۸	NEIC		
۱۹۹۲/۰۳/۱۳	۳۷/۷۰۵N	۴۵/۲۰۷E	۴/۹	NEIC		
۱۹۹۳/۰۵/۲۵	۳۷/۵۵۷N	۴۵/۹۶۱E	۴/۱	NEIC		

برابر با M_w برای زمین لرزه هایی که M_w برای آنها گزارش شده است، در غیر این صورت، برابر با M برای زلزله های با M برابر با mb برای زلزله های با mb برابر با M کوچکتر یا مساوی M در نظر گرفته شده است.



شکل (۶): دوره بازگشت بزرگا برای پهنه لرزه زمین ساختی مراغه با استفاده از روش کیکر [۷]



شکل (۷): احتمال رویداد بزرگا برای دوره بازگشتها و بزرگاهای مختلف در پهنه لرزه زمین ساختی مراغه و ارائه تتابعی به روش کیکر [۷]

(شکل ۲). نکته قابل توجه در این شکل وجود سازوکارهای راستالغز راستگرد از پهنه گسل آناتولی شمالی تا پهنه گسلی شمال تبریز و مشاهده چینی سازوکاری از پهنه گسله زاکرس تا روندهای شمالی جنوبی پیرامون دریاچه ارومیه، پیوستگی سازوکار راستالغز چپگرد از پهنه گسل آناتولی خاوری و شمال خاوری تا سیستم خطواره های دهخوارقان تبریز (شکل ۳) در خاور دریاچه ارومیه و روندهای گسلهای معکوس تا راندگی در جنوب دریاچه وان، شمال کوه آرارات در قفقاز و شمال دریاچه ارومیه (گسلهای تسوج و شبستر) می باشد. این موضوع نمایانگر وقوع یک پهنه برخورد زمین ساختی در این ناحیه است که با زمین لرزه های فراوان به همراه گسیختگی زمین لرزه ای در ناحیه گسل شمال تبریز، قفقاز، ارمنستان و خاور ترکیه مشخص می گردد.

با در نظر گرفتن پهنه دریاچه ارومیه تا گسل شمال تبریز و برداشت روند گسلهای شناخته شده، برداشت و شناسایی روندهای گسله پنهان و پوشیده در پیرامون دریاچه ارومیه بر اساس جا به جایی مسیر آبراهه ها، تغییر سطحهای پستی و بلندی و همچنین در امتداد هم قرار گرفتن روند

متوسط است و از نظر بزرگای جنبش نیز نسبت به زمین لرزه های پهنه کسل شمال تبریز در ردۀ دوم قرار می گیرد. با توجه به بررسیهای لرزه خیزی حداکثر بزرگا در پهنه شمال تبریز ۷/۷ و در پهنه دریاچه ارومیه ۶/۸ مشاهده می گردد.

۵- پارامترهای لرزه خیزی

برای محاسبه پارامترهای لرزه خیزی در این ناحیه، از زمین لرزه رویداده در پهنه لرزه زمین ساختی مراغه (جدول ۲) و الگوریتم کیکر [۷] نسبت به محاسبه بزرگای بیشینه استفاده گردید. در تحلیل کیکر ۱۴ زمین لرزه پس از حذف پس لرزه ها وارد شده است (جدول ۳).

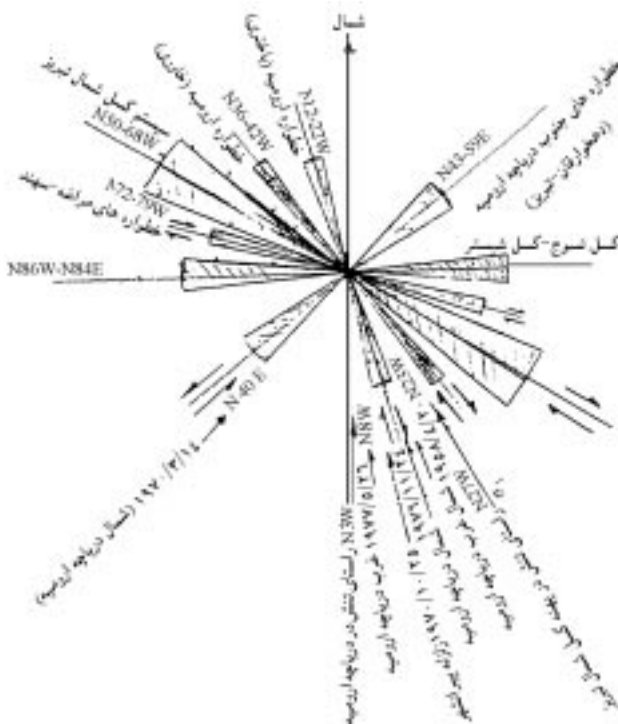
جدول (۳): تتابع حاصل از اعمال روش کیکر در پهنه لرزه زمین ساختی مراغه

بزرگا (با در نظر گرفتن عدم قطعیت)	تاریخ رویداد
۵/۸	۱۹۸۰/۵/۰۵
۵/۰	۱۹۶۹/۱۱/۲۸
۵/۷	۱۹۷۰/۱۰/۲۵
۴/۸	۱۹۸۱/۰۷/۲۳
۴/۷	۱۹۸۱/۰۹/۱۴
۴/۹	۱۹۸۱/۱۰/۰۹
۴/۸	۱۹۸۲/۰۶/۱۰
۴/۸	۱۹۸۴/۰۱/۲۸
۴/۸	۱۹۸۶/۰۵/۱۱
۴/۹	۱۹۸۸/۰۶/۰۴
۴/۹	۱۹۹۱/۰۷/۰۵
۵/۰	۱۹۹۲/۰۳/۱۳
۴/۲	۱۹۹۳/۰۵/۲۵

بزرگای بیشینه مشاهده شده در این جدول مربوط به زلزله دهخوارقان- تبریز می باشد. بر اساس این محاسبه با تعیین بزرگای آستانه $M=4.0$ برای دوره بازگشتهای متفاوت، بزرگاهای مختلف محاسبه و در شکل (۶) مشخص شده است. به عنوان مثال، به ترتیب برای دوره بازگشتهای ۵۰، ۷۵ و ۴۷۵ سال بزرگای ۵/۵، ۵/۷ و حدود ۴/۴ محاسبه شده است. بزرگای بیشینه نیز بر اساس این روش 7.3 ± 174 محاسبه شده است. در دوره بازگشتهای مختلف احتمال رویداد هر بزرگا در شکل (۷) مشاهده می شود.

۶- تحلیل راستای بودارلغز در پهنه سهند- دریاچه ارومیه با توجه به شکلهای (۱، ۲ و ۳) روندهای بنیادی موجود در پهنه شمال باختری ایران، خاور ترکیه، قفقاز در شمال دریاچه ارومیه، دریاچه وان در خاور ترکیه و باخته قفقاز کوچک با یکدیگر تلاقی می نمایند

مزبور اعمال گردیده است. البته غلبه سازوکار برشی راستالغز راستگرد در ناحیه تبریز مشهود است و با توجه به تلاقي روندهای کسل شمال تبریز و سیستم راستالغز چپگرد دهخوارقان- تبریز، قوع زمین لرزه های پی در پی تاریخی در ناحیه تبریز احتمالاً به دلیل وقوع یک پهنه برخورد زمین ساختی در ناحیه تبریز بوده است. شواهدی مبنی بر پایان این وضعیت موجود نیست و به نظر می رسد که چنین پهنه برخوردی، از تلاقي روندهای راستالغز راستگرد و چپگرد حاصل شده و اکنون نیز می تواند از نظر خداداد زمین لرزه به عنوان پهنه با خطر بسیار بالا محسوب گردد.



شکل (۱): نمودار شکستگی پوسته و سازوکار آن در پهنه دریاچه ارومیه- سیستم آتشفشاری سهند که روندهای تنش اصلی با توجه به پهنه های گسله و سازوکارهای ژرفی مشخص است.

۷- بررسی سازوکارهای ژرفی

با توجه به سازوکار کسلش (شکل ۲) در منتها لیه شمال باختری ایران (ناحیه آذربایجان)، دریاچه ارومیه تا دریاچه وان در ترکیه) تغییری در این سازوکارها از راستالغز راستگرد به صورت غالب در ناحیه دریاچه ارومیه بویشه بخش خاوری آن تا فشاری در ناحیه جنوب دریاچه وان، راستای گسلهای شبستر و تسوج و نهایتاً سازوکار راستالغز چپگرد در راستای سیستم کسل آناتولی خاوری رخ می دهد. با توجه به سازوکارهای ژرفی در ناحیه یاد شده لرزه خیزی غالب توسط زلزله هایی با

دره ها و عوارض ریخت شناختی مشخصات شکستگیهای پوسته زمین در این پهنه از کشور برداشت گردید (شکل ۳). بر این اساس، سازوکار راستالغز در مورد روند خطواره های پیرامون دریاچه ارومیه و سیستم آتشفشاری سهند مطابق شکل مذکور مشخص شد. از سوی دیگر، سازوکار راستالغز چپگرد که به احتمال بسیار زیاد در زمین لرزه ۱۶۴۱/۱۲/۵ جا به جا شده است ($M_s = 6.8$) بر اساس شواهد ریخت زمین ساختی روند دهخوارقان- تبریز معرفی می گردد.

با توجه به تغییر روند شکستگیها (گسلها و خطواره ها) و همچنین راستاهای تنش بر اساس روند گسلها و سازوکارهای ژرفی، وضعیت تنش و خطهای درز در پوسته زمین در نمودار شکل (۸) مشخص شده است. در این شکل مشاهده می شود که پهنه یاد شده در خاور و شمال خاور دریاچه ارومیه، روند گسل شمال تبریز با راستای متغیر (N50-68W) و چندین بار گسیختگی زمین لرزه ای (وقوع ۱۲ زمین لرزه مخبر) و ایجاد یک مرز مشخص پستی و بلندی در ناحیه ای که شهرهای تبریز و بستان آباد در پای دامنه آن قرار گرفته اند، روند اصلی و اوایله در منطقه می باشد. در پیرامون سیستم گسله شمال تبریز می توان روندهای رده دوم خطواره های مراغه- سهند را با راستای N72-79W و خطواره های خاوری دریاچه ارومیه را با راستای N36-42W به عنوان روند R₁ و P در سیستم برشی رسید (روند گسل شمال تبریز به عنوان راستای برشی اصلی) مشخص نمود. از سوی دیگر، روند خطواره های جنوب دریاچه ارومیه و سیستم دهخوارقان- تبریز با سازوکار راستالغز چپگرد در مدل یاد شده، به عنوان روند R₂ در نظر گرفته می شود. در چنین مدلی توجه به راستای گسلهای تسوج و شبسترها سازوکار فشاری نیز جالب می باشد. با ملاحظه نمودن سازوکارهای مذکور در ناحیه سهند- دریاچه ارومیه، غلبة روندهای شمال باختری- جنوب خاوری (گسل شمال تبریز، فشاری و راستالغز راستگرد) و راستاهای شمال، شمال باختر- جنوب، جنوب خاور پیرامون دریاچه ارومیه را می توان با سازوکار راستالغز راستگرد به عنوان روند رده دوم ملاحظه نمود. همچنین وجود روندهای راستالغز چپگرد در جنوب دریاچه ارومیه و خطواره دهخوارقان- تبریز را نیز به صورت راستاهای رده دوم در نظر می گیریم.

تغییر راستای بردار لغزش از حدود N27W در ناحیه گسل شمال تبریز تا N3W (تقریباً شمالی- جنوبی) در پهنه دریاچه ارومیه در شکل (۸) مشاهده می شود. به نظر می رسد که راستای فشارش اصلی در زمان کواترنر و عهد حاضر در این جهتها به منطقه

حد فاصل تغییر روندهای بنیادی و مرزهای جنبایی زمین ساختی در پیرامون کسل شمال تبریز، شمال دریاچه ارومیه، بخش خاوری ترکیه و ناحیه دریاچه وان ترکیه مرتبط است. چنین حالتی با توجه به وضعیت لرزه خیزی بالای مرزهای اصلی این ناحیه لرزه زمین ساختی (کسل شمال تبریز، روند دهخوارقان- تبریز و خطواره باختری دریاچه ارومیه) از نظر وجود پهنه ای با لرزه خیزی متوسط اهمیت می یابد.

۸- نتیجه گیری

با توجه به روندهای بنیادی لرزه زمین ساختی در پهنه پیرامون سیستم آتشفشاری سهند- دریاچه ارومیه، مشخص گردید که این ناحیه محل تغییر روندهای بنیادی از شمال باختری- جنوب خاوری (کسل شمال تبریز، فشاری و راستالغاز راستگرد) به خاوری- باختری (گسل تسوج و شبستر، راندگی)، شمال خاوری- جنوب باختری (روند دهخوارقان- تبریز، راستالغاز چپگرد) تا روندهای تقريباً شمالی- جنوبی باختر دریاچه ارومیه (با سازوکار راستالغاز راستگرد) می باشد. تغییر روندها در ساختار کلی زمین ساختی شمال باختری ایران و خاور ترکیه قابل توجیه است؛ زیرا، تغییر روندهای بنیادی از جنوب پهنه قفقاز، تا شمال خاوری ایران به سمت شمال عراق و سپس خاور ترکیه قابل پی کری است. با توجه به چنین حالتی در منطقه مذکور می توان تبیجه گرفت:

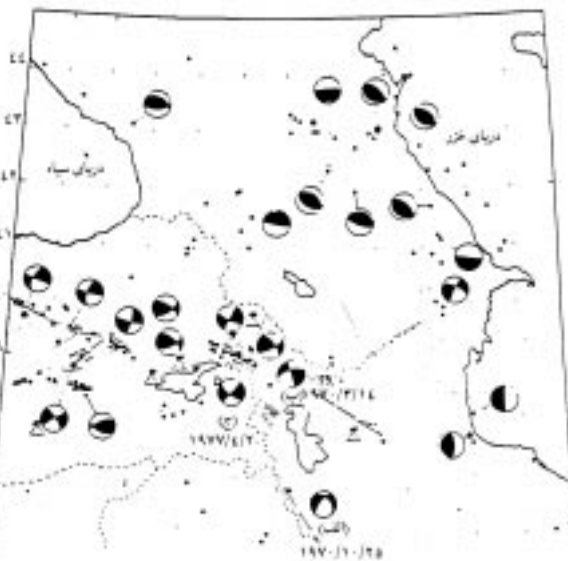
- وقوع زمین لرزه های شدید در تبریز احتمالاً مربوط به یک ناحیه تلاقی زمین ساختی بین سیستم کسل شمال تبریز و سیستم دهخوارقان تبریز بوده است. چنین ناحیه برخوردي اکنون نیز می تواند مجدداً فعال گردد؛

- روندهای رده دوم دهخوارقان- تبریز که مشابه سیستم کسله خاوری و شمال خاوری آناتولی ترکیه است دارای سازوکار راستالغاز چپگرد می باشند؛

- فروافتادگی دریاچه ارومیه و بیرون زدگی آتشفشاران سهند در حد فاصل این پهنه تغییر روندها رخ داده است؛

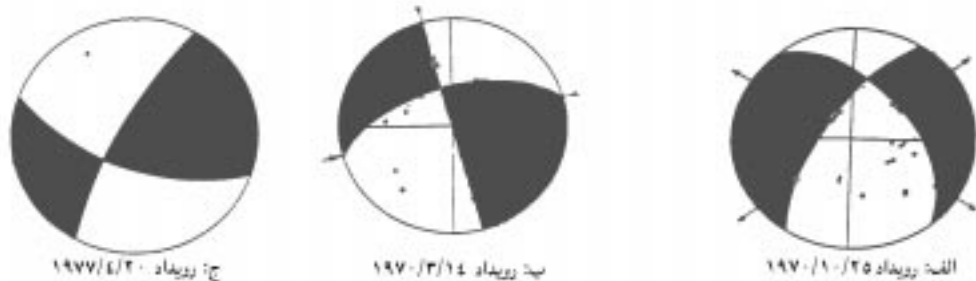
- لرزه خیزی متوسط در ناحیه دریاچه ارومیه احتمالاً با تغییر سازوکارهای راستالغاز و فشاری از شمال و خاور آتشفشاران سهند تا باختر دریاچه ارومیه و تمرکز منطقه فعالیتهای لرزه زمین ساختی بر روی مرزهای اصلی این پهنه تغییر روند مرتبط است؛

سازوکار راستالغاز کنترل می شود (شکل ۹). این سازوکارها در ناحیه دریاچه ارومیه نمایانگر جنبایی شدن روندهای راستالغاز راستگرد می باشد [۸ و ۹].



شکل (۹): سازوکارهای ژرفی در ناحیه شمال باختری ایران- خاور ترکیه [۸]
سازوکار ژرفی رویداد زمین لرزه در راستای کسل پیرانشهر و غلبه سازوکار ژرفی راستالغاز راستگرد همراه با مؤلفه کششی در شکل (۱۰، الف) و روندهای شمال باختری- جنوب خاوری در شمال دریاچه ارومیه به ترتیب در نواحی مرزی ایران- ترکیه و ایران- ارمنستان در شکل (۱۰، ب و ج) مشاهده می گردد.

راستای بردارهای لغش حاصل از زمین لرزه هایی که سازوکار ژرفی آنها موجود بوده است در شکل (۸) مشخص شده است. راستای فشارش بنیادی از N3W تا N27W متغیر است و از راستای بردار لغش در زمین لرزه ۱۹۷۰/۳/۱۴ که نشانگر روند N20E است نیز نمی توان صرفنظر کرد (شکل ۸ و ۱۰، ب). احتمالاً این روند نمایانگر فعال شدن یک سازوکار فرعی نسبت به فشارش N3-27W می باشد. در شکل (۸) این نکته قابل توجه است که لرزه خیزی منطقه در حد فاصل روندهای کسله شمال تبریز (N50-68W) تا روندهای تزدیک به شمالی- جنوبی باختر دریاچه ارومیه (N12-22W) به صورت لرزه خیزی متوسط (با بیشینه بزرگای ییش از ۶/۸ مانند زلزله ۱۶۴۱ دهخوارقان- تبریز) مشاهده می شود. در پهنه جنوبی دریاچه ارومیه و ناحیه جنوبی و باختری سیستم آتشفشاری سهند هیچ زمین لرزه ای در عهد حاضر با بزرگای ییش از $m_b=4.8-4.9$ گزارش نشده است (جدول ۲). این لرزه خیزی متوسط را می توان احتمالاً با پهنه ایجاد شده در



شکل (۱۰): سازوکارهای ژرفی سه رویداد در ناحیه شمال باختری ایران [۸]

3-Ambraseys, N. N., and Melville, C.P. A History of Persian Earthquakes, Cambridge Earth Sci. 1982.

۴-مهدی، زارع. "خطر زمین لغزه در محدوده محور و مخزن سد در حال مطالعه" بانه، مجموعه مقالات اولین کارگاه تخصصی بررسی راهبردهای کاهش خسارات زمین لغزه در کشور، پژوهشگاه بین المللی زلزله شناسی و مهندسی زلزله، ۱۳۷۳.

5-Zare', M., Contribution a' L' etude des Mouvements Forts en Iran: du Catalogue Aux Lois d' Attenuations, Ph.D. Thesis Universite' Joseph-Fourier, Grenoble France, 1999.

6-Nattli, O.W. (1979), The Relation of Sustained Maximum Ground Acceleration and Velocity to Earthquake In Teusity and Magnitude, "Miscellanouse Paper S-73-1, Rep. 16. U.S. Army. Crops of Engrs. Misisipi, 74P.

7-Kijko, A. and Sellevoll, M.A. (1992), Eshimation of Earthquake Hazard Parameters from Incomplete Data Files, Part II: Incorporation of Magnitude Heterogenity, Bull. Seis. Soc. Amr., Vol 82, No. 1, pp.120-134.

8-Jackson, J. and Mekenzie, D. Active Tectonic of Alpine-Himalayan Belt Between Western Turkey and Pakistan, Geophy. J.R. Astr. Soc., Vol. 77., pp. 185-264, 1984.

9-Jackson, J., Seismology and the Active Tectonics of Iran. Proc. 3rd Int Conf. Seis. and Earthquake Eng. (SEE3), Vol. 1, pp.3-13, 1999.

* mzare@dena.iies.ac.ir ◀

- با ملاحظه نمودن لرزه خیزی متوسط در ناحیه دریاچه ارومیه، بیشینه بزرگای زمین لرزه با بزرگای $\frac{1}{8}$ به زلزله دهخوارقان- تبریز در سال ۱۶۴۱ مربوط است؛ در حالی که، حداقل بزرگا در پهنه کسل شمال تبریز بر اساس زلزله های تاریخی به $\frac{7}{7}$ می رسد. در پایان پیشنهاد می شود تا مطالعات دقیق تنش و برداشت نیمرخهای دقیق لرزه ای (به کونه ای که در راستای شمال خاوری- جنوب باختری پهنه یاد شده را قطع نماید) انجام شود. از سوی دیگر، با برداشت‌های دیرینه لرزه شناسی بویشه بر روی روندهای خطواره های مشکوک در پیرامون دریاچه ارومیه می توان به سوالهای فراوان در مورد توان لرزه زایی و زمان آخرین فعالیت این روندها پاسخ داد. انشالله چنین بررسیهایی به شناخت دقیق‌تر منطقه شمال باختری ایران از نظر رخداد زمین لرزه های مخرب و برآورد دقیق‌تر خطر زمین لرزه منجر گردد.

۹- مراجع

- 1-Nogol-Sadat, M.A.A., Seismotectonic Map of Iran, Teritise on the Geology of Iran, 1:1000,000 Scale, 1994.
- 2-Fuenzaalida, H., et al,(1997), Mechanism of the 1992 Erzincan Earthquake and its Aftershocks, Teefonis of Erzincan Basin and Decoupling on the North Anatolian Fault, Geoph, J. Int, Vol. 129, pp.1-28.